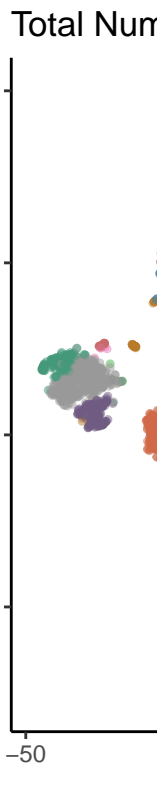


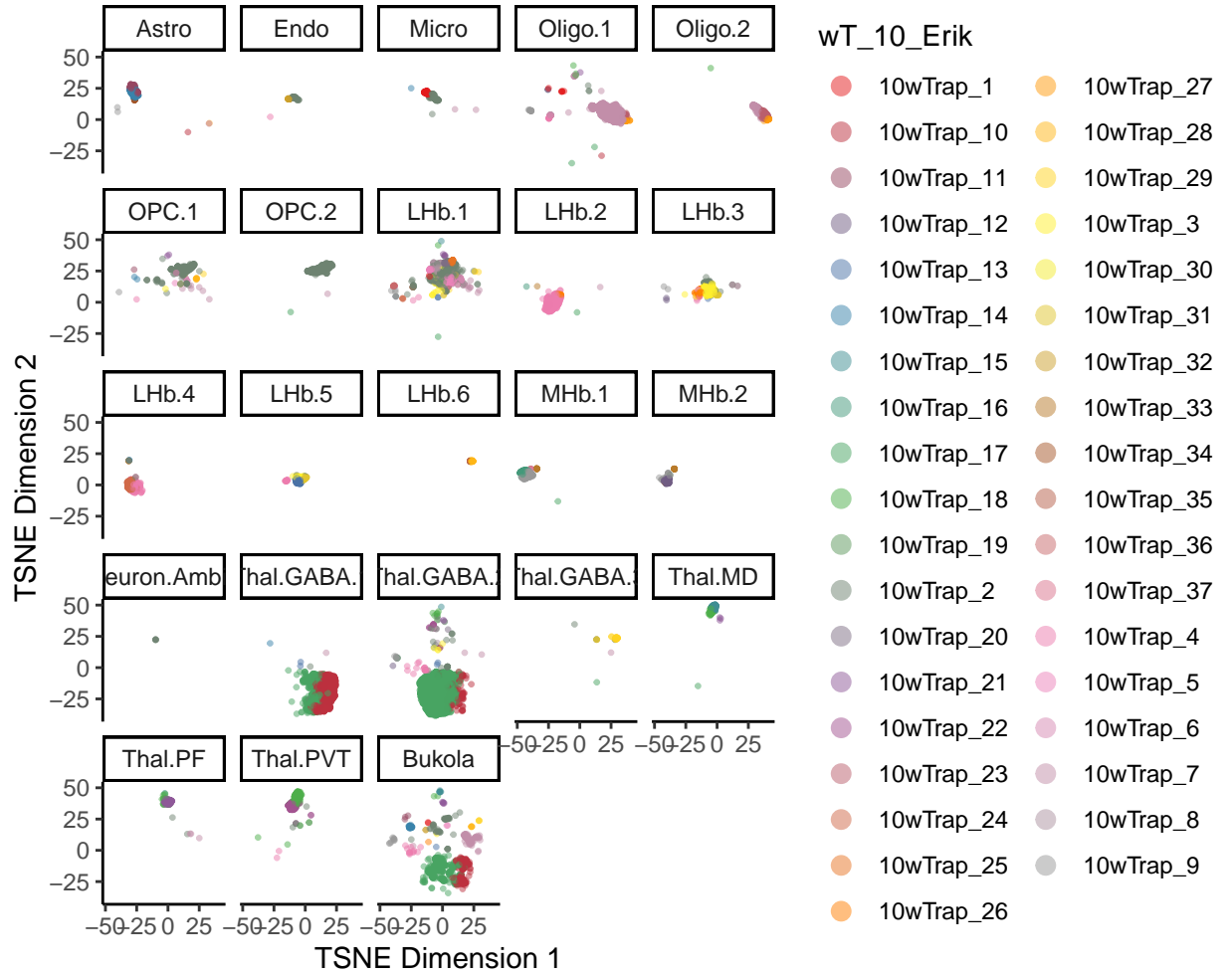
TSNE Dimension 2



wT_10_Erik

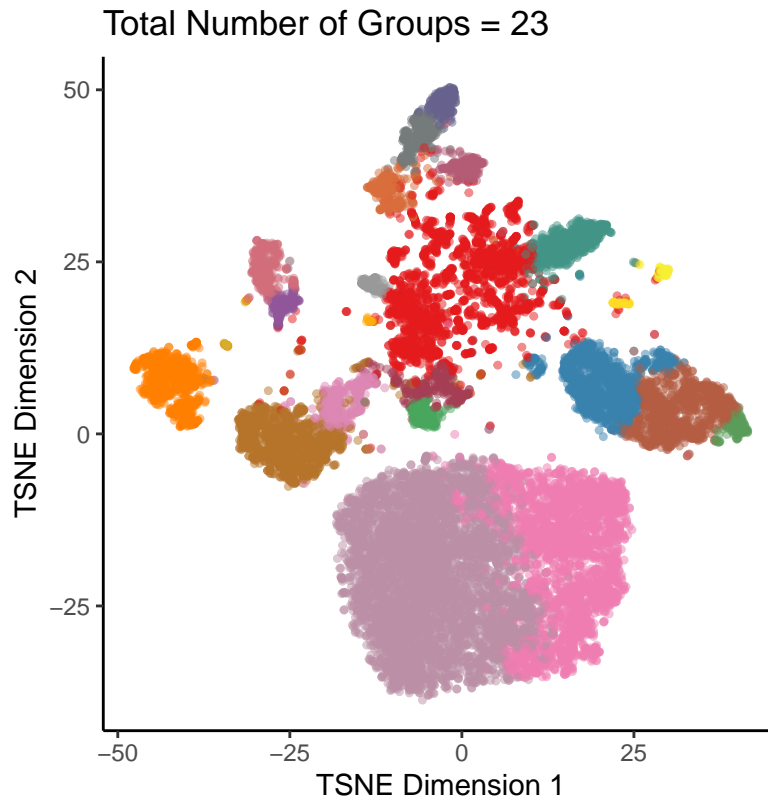
- 10wTrap_1 • 10wTrap_27
- 10wTrap_10 • 10wTrap_28
- 10wTrap_11 • 10wTrap_29
- 10wTrap_12 • 10wTrap_3
- 10wTrap_13 • 10wTrap_30
- 10wTrap_14 • 10wTrap_31
- 10wTrap_15 • 10wTrap_32
- 10wTrap_16 • 10wTrap_33
- 10wTrap_17 • 10wTrap_34
- 10wTrap_18 • 10wTrap_35
- 10wTrap_19 • 10wTrap_36
- 10wTrap_2 • 10wTrap_37
- 10wTrap_20 • 10wTrap_4
- 10wTrap_21 • 10wTrap_5
- 10wTrap_22 • 10wTrap_6
- 10wTrap_23 • 10wTrap_7
- 10wTrap_24 • 10wTrap_8
- 10wTrap_25 • 10wTrap_9
- 10wTrap_26

Rand Index: 0.654



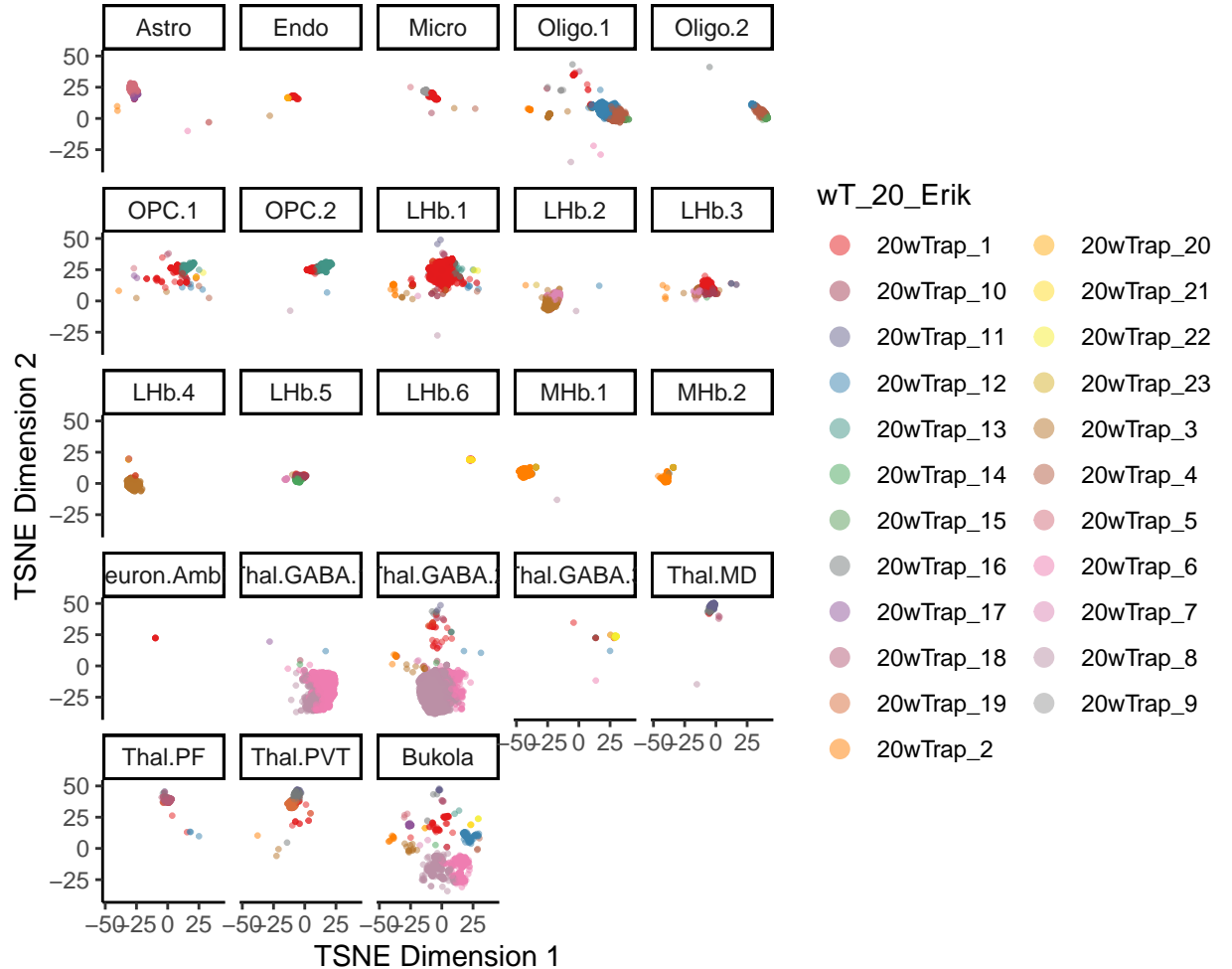
wT_10_Erik

- 10wTrap_1 • 10wTrap_27
- 10wTrap_10 • 10wTrap_28
- 10wTrap_11 • 10wTrap_29
- 10wTrap_12 • 10wTrap_3
- 10wTrap_13 • 10wTrap_30
- 10wTrap_14 • 10wTrap_31
- 10wTrap_15 • 10wTrap_32
- 10wTrap_16 • 10wTrap_33
- 10wTrap_17 • 10wTrap_34
- 10wTrap_18 • 10wTrap_35
- 10wTrap_19 • 10wTrap_36
- 10wTrap_2 • 10wTrap_37
- 10wTrap_20 • 10wTrap_4
- 10wTrap_21 • 10wTrap_5
- 10wTrap_22 • 10wTrap_6
- 10wTrap_23 • 10wTrap_7
- 10wTrap_24 • 10wTrap_8
- 10wTrap_25 • 10wTrap_9
- 10wTrap_26



wT_20_Erik

- 20wTrap_1
- 20wTrap_10
- 20wTrap_11
- 20wTrap_12
- 20wTrap_13
- 20wTrap_14
- 20wTrap_15
- 20wTrap_16
- 20wTrap_17
- 20wTrap_18
- 20wTrap_19
- 20wTrap_2
- 20wTrap_20
- 20wTrap_21
- 20wTrap_22
- 20wTrap_23
- 20wTrap_3
- 20wTrap_4
- 20wTrap_5
- 20wTrap_6
- 20wTrap_7
- 20wTrap_8
- 20wTrap_9



Rand Index: 0.632

